



微纳光纤(波导)及应用

- 现代工程与应用科学学院
 - 2020-3-4



微纳光纤及应用



参考文献：

1. L. Tong and M. Sumetsky, Subwavelength and nanometer diameter optical fibers (Zhejiang University Press, Springer, 2009).
2. G. Brambilla, F. Xu, P. Horak, Y. Jung, F. Koizumi, N. P. Sessions, E. Koukharenko, X. Feng, G. S. Murugan, J. S. Wilkinson, and D. J. Richardson, “Optical fiber nanowires and microwires: Fabrication and applications,” *Adv. Opt. Photon.* **1**, 107-161 (2009).
3. M. Summetsky, “Nanophotonics of optical fibers” *Nanophotonics* **2**, 393-406 (2013).
4. X. Q. Wu and L. M. Tong “Optical microfibers and nanofibers,” *Nanophotonics* **2**, 407-428 (2013).
5. 童利民等 “微纳光子学研究前沿” （上海交通大学出版社，2014）。



主要内容



- 简介
- 制备
- 理论基础
- 微纳光纤器件及应用
- 总结



简介



光纤



*Godfather of Broadband
Father of Fiber Optics*

Father of Fiber Optic Communications

高 锟 Charles K. Kao

出生日期 1933 年 11 月 4 日 上海

学历

英国伦敦大学理学士 (1957)
英国伦敦大学哲学博士 (1965)

经历

英国国际电话电报公司 (1957)
英国国际电话电报公司附属标准通讯实验室 (1960)
香港中文大学电子学系教授及讲座教授 (1970-1974)
英国国际电话电报公司:
首席科学家 (1974);
工程总裁、行政科学家 (1982);
研究事务总裁 (1986)
香港中文大学校长 (1987-1996)
美国国家工程院院士 (1990)
台湾中央研究院院士 (1992)
香港高科桥有限公司主席兼行政总裁 (1996-)



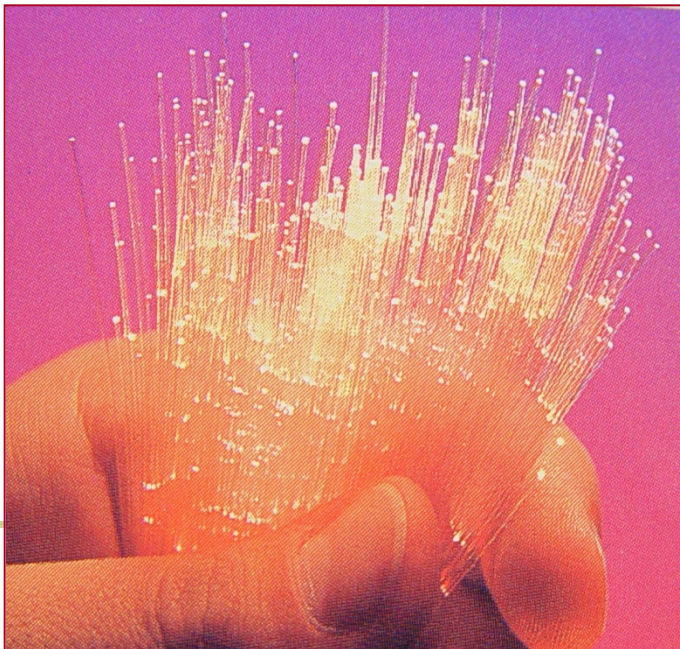
简介



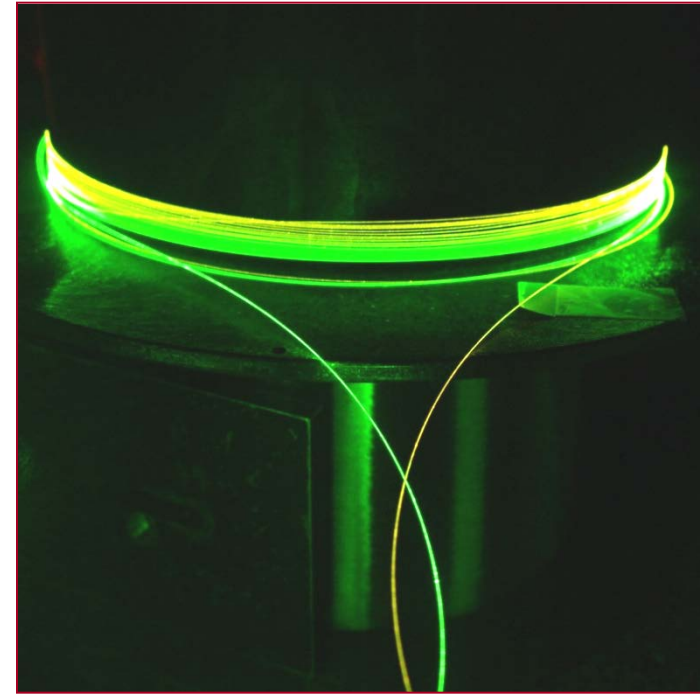
光纤

Optical fibers have been very successful in handling light both linearly and nonlinearly for a variety of applications

Linear



When the light is strong enough



- Optical communications
- Optical sensors
- Power delivery

...

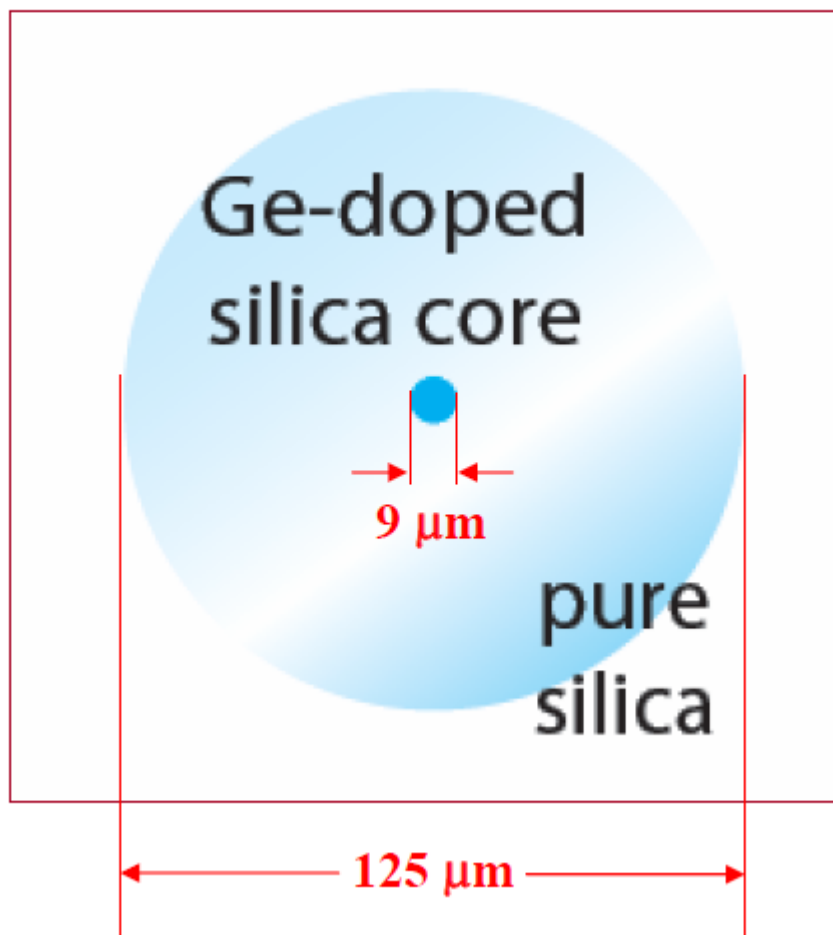


简介



光纤

标准单模光纤



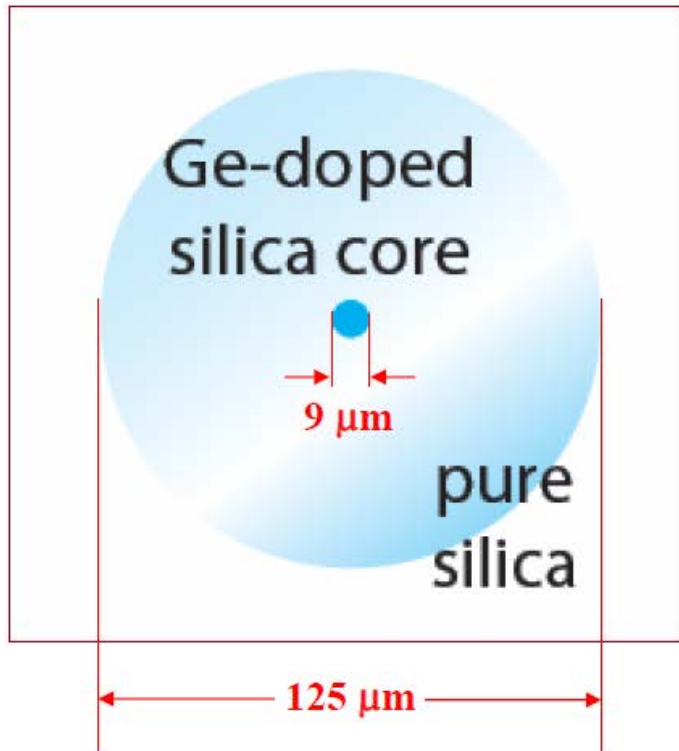


简介



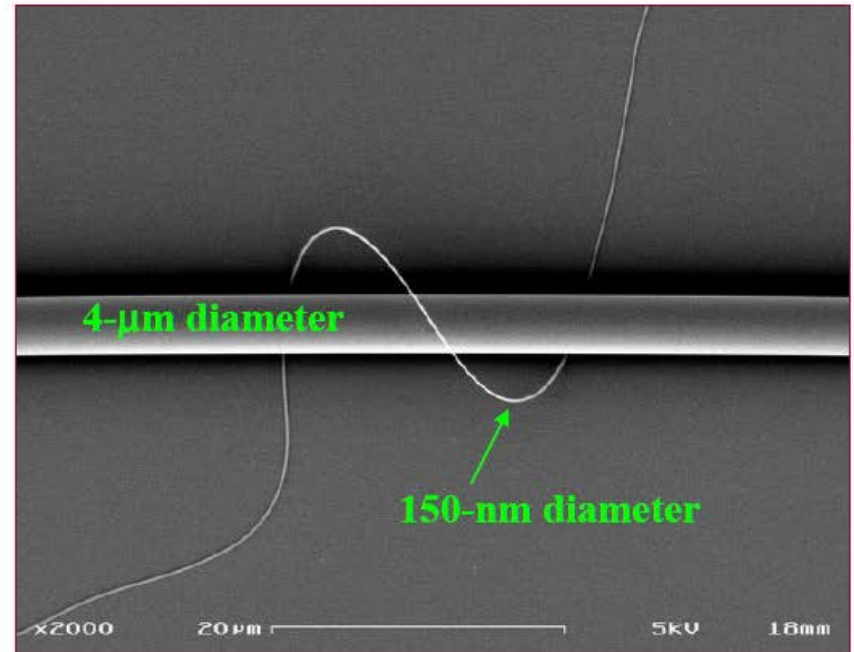
光纤

标准单模光纤



Microfiber, nanowire, nanofiber, nanotaper, sub-wavelength-diameter

微纳光纤



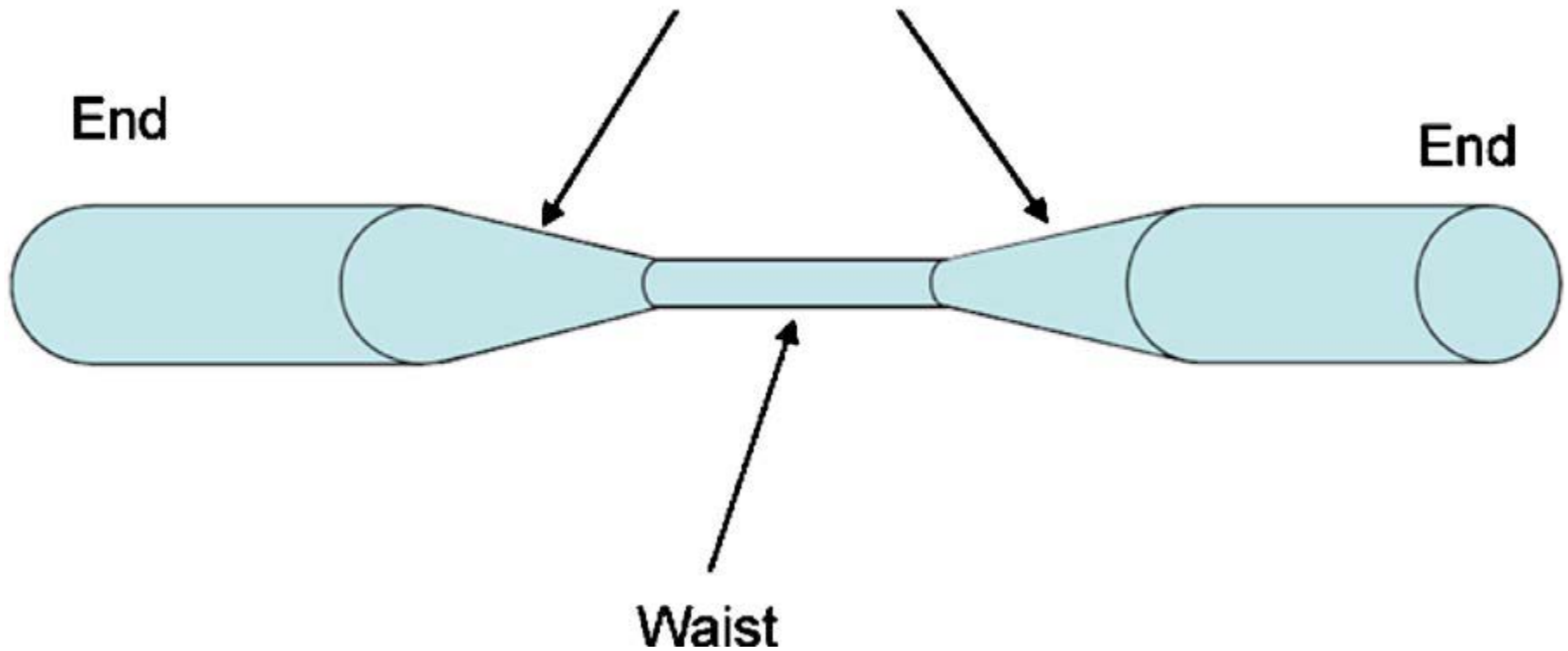


简介



微纳光纤

■ Optical Fiber Tapers Transitions





简介



典型光学特性

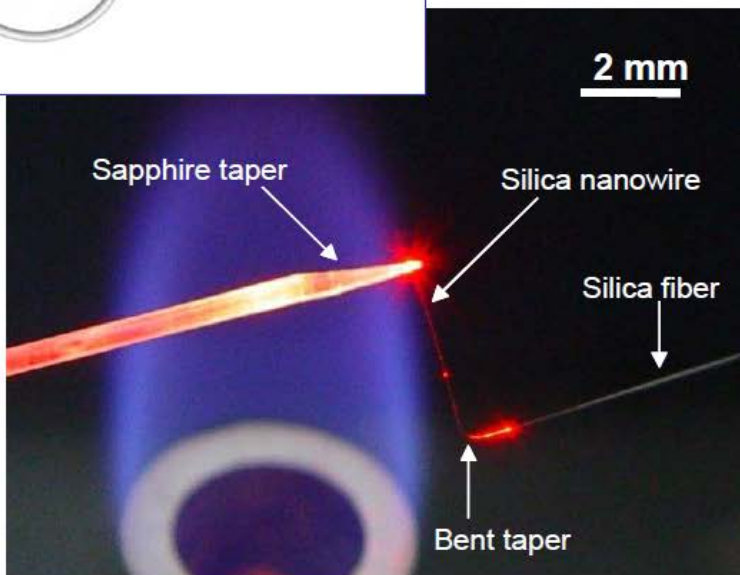
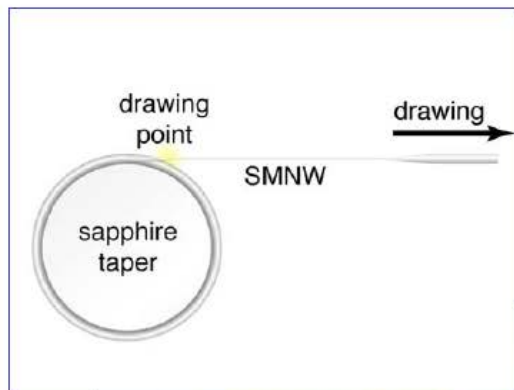
- 光场约束能力强 传输光束等效直径可以 $< \lambda$
- 传输损耗低 单模损耗 $< 0.01 \text{ dB/mm}$
- 大比例倏逝波传输 倏逝波能量比例可大于 98%
- 亚波长直径长距离相干传输 传输距离可大于 10 cm
- 大波导色散 波导和总色散可达到标准单模光纤的 10^3 倍以上
- 高表面能量密度 10 mW 的可见光输入可在表面产生高于 1 MW/cm^2 的能量密度



制备



玻璃光纤二步高温拉伸



Limin Tong



≥ 20 nm 直径光纤

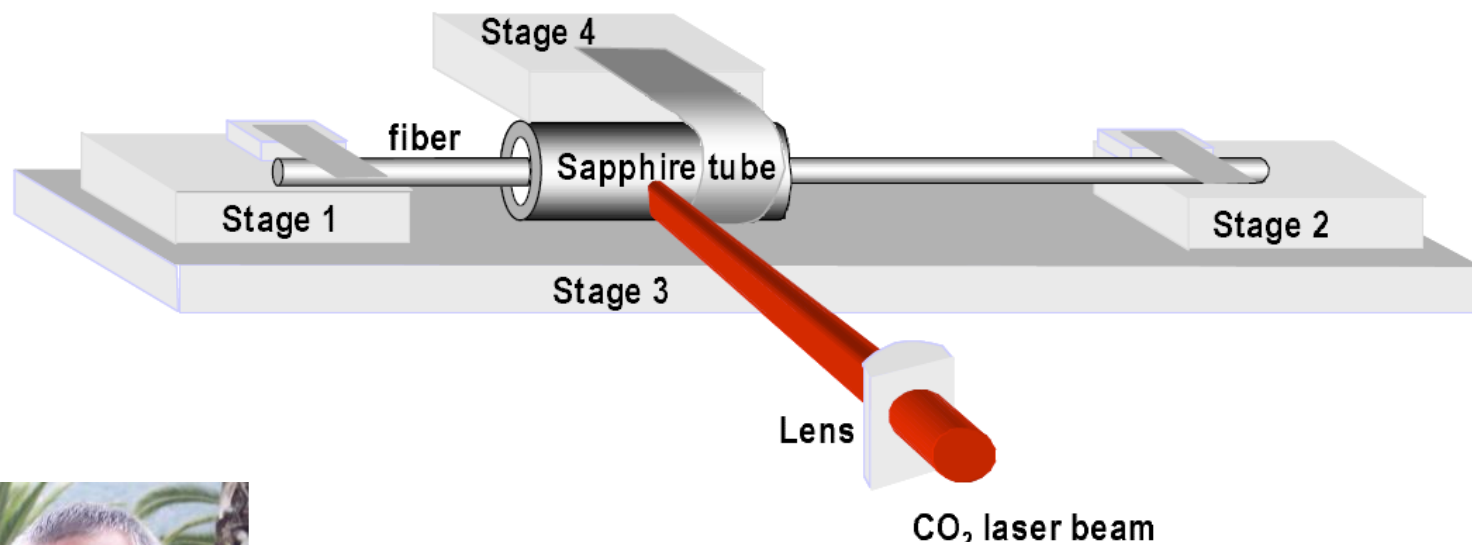
Eric Mazur



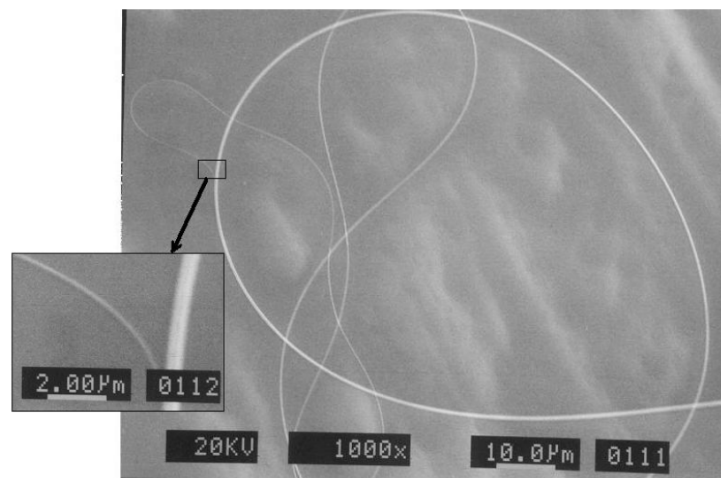
L. Tong et al., Nature **426**, 816 (2003).
L. Tong et al., Nanotechnology **16**, 1445 (2005).



制备

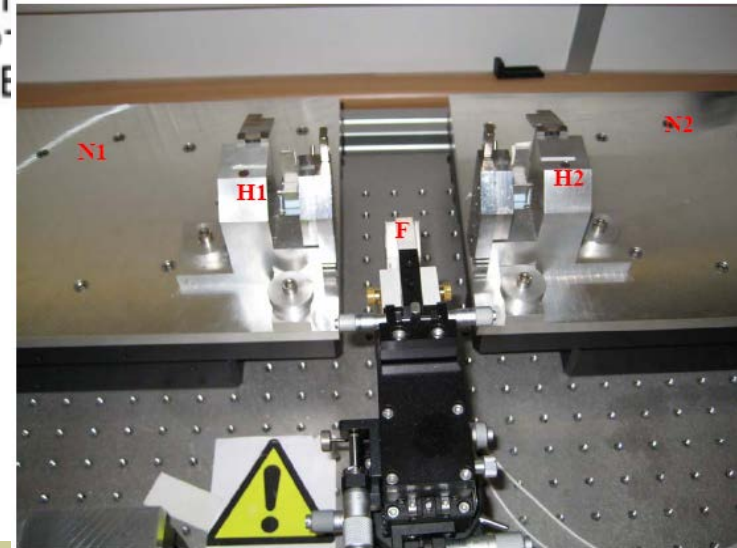
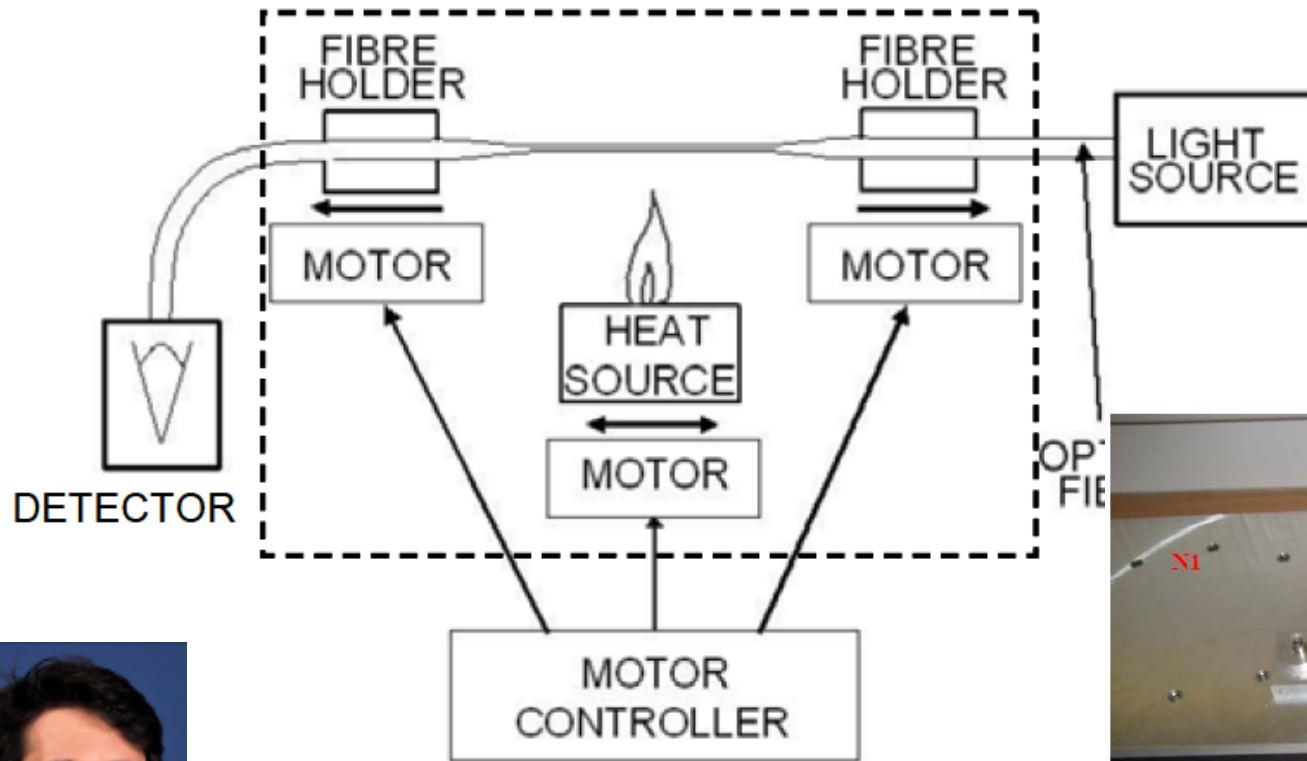


OFS Misha Sumetsky





制备



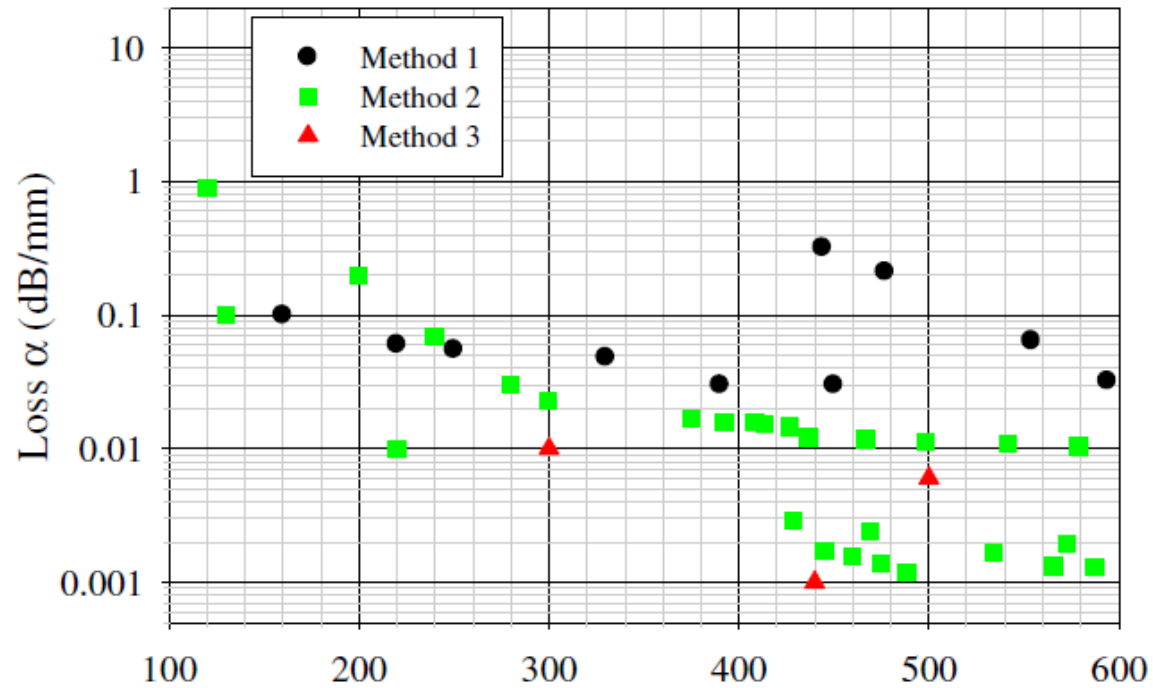
University of Southampton
Gilberto Brambilla



制备



损耗

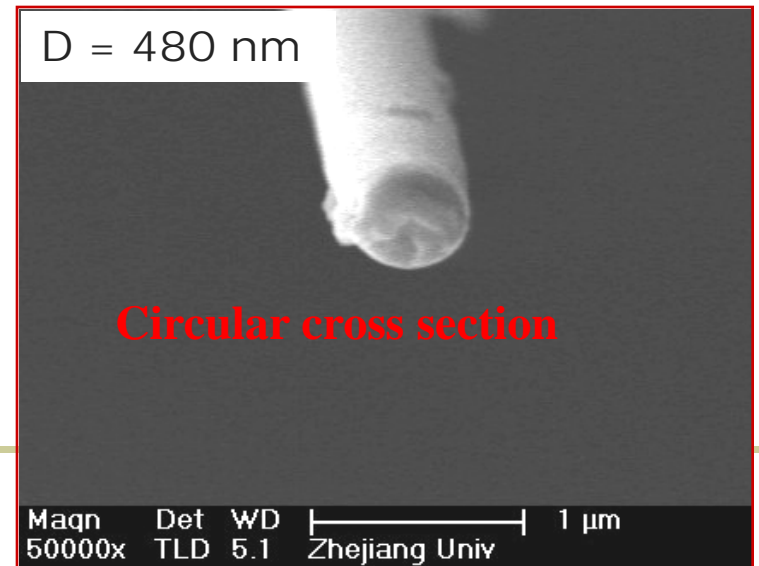
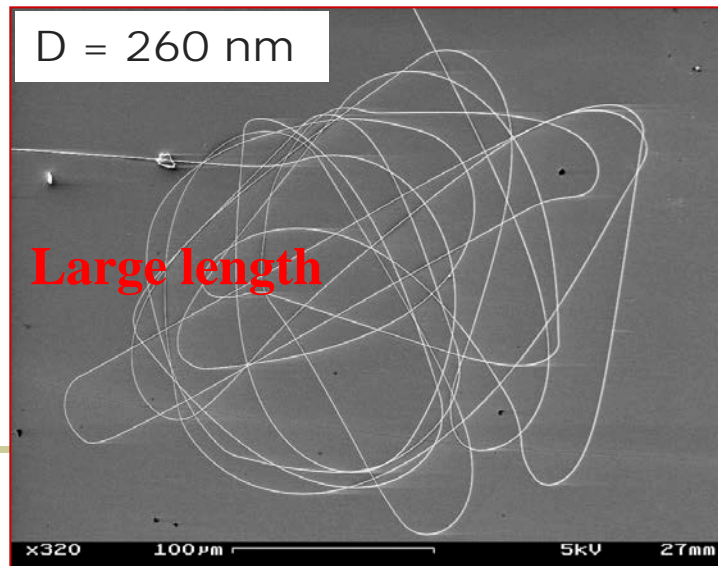
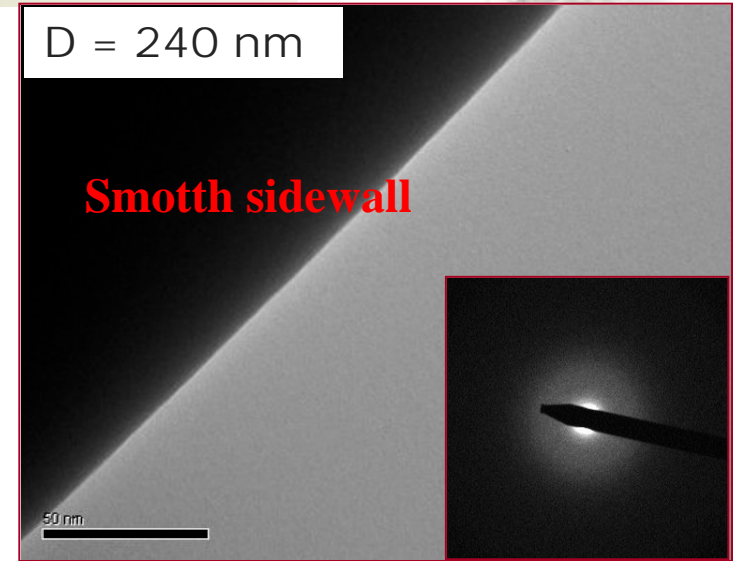
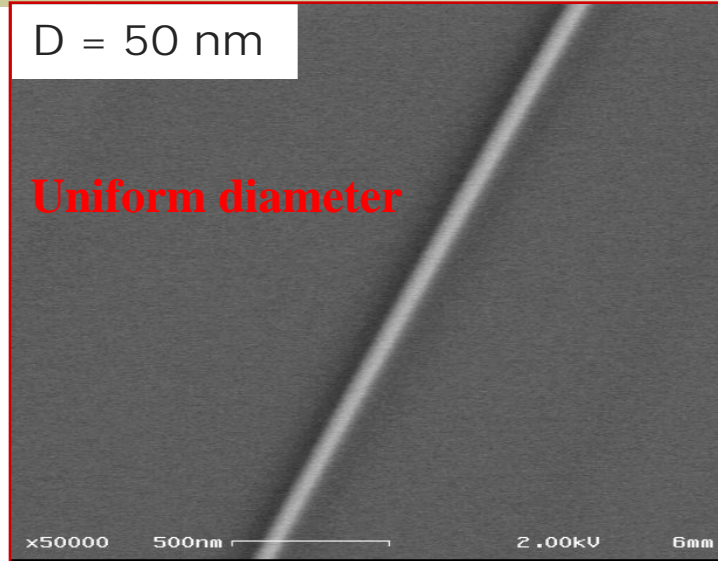




制备



扫描电镜照片

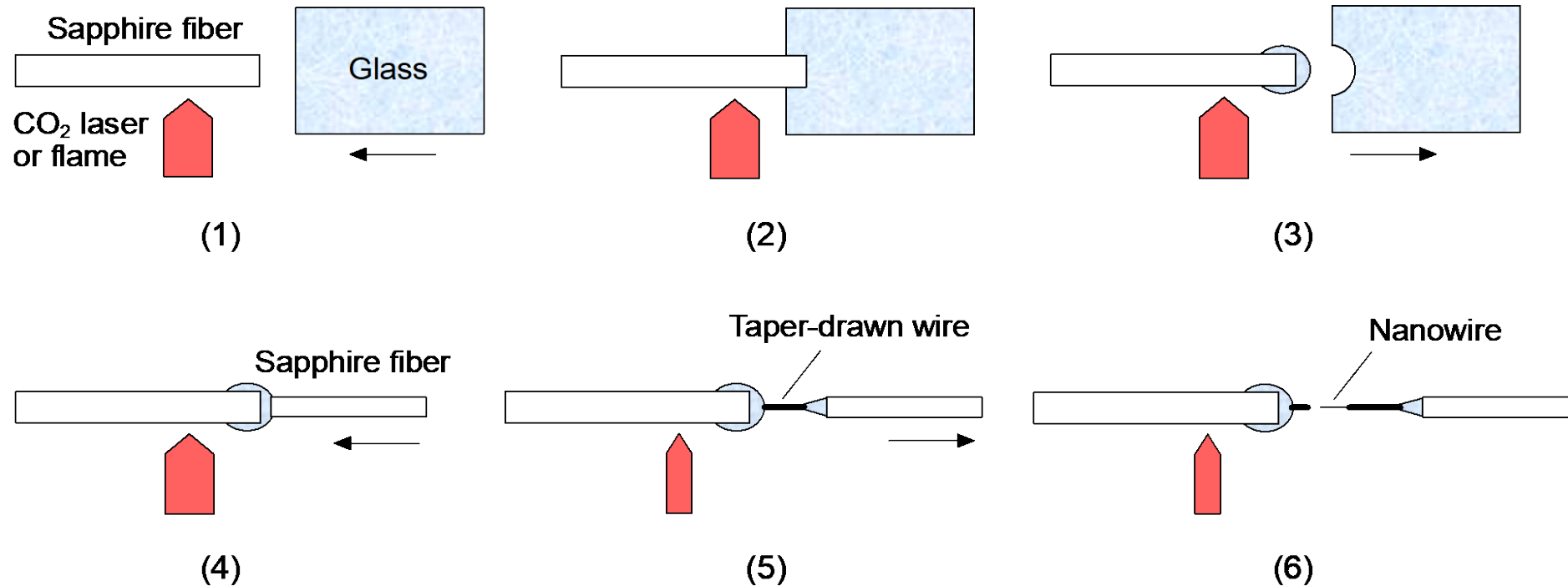




制备



玻璃高温拉伸 → 多组分玻璃微纳光纤



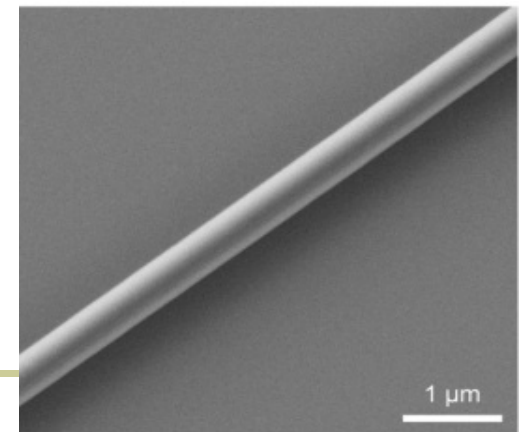
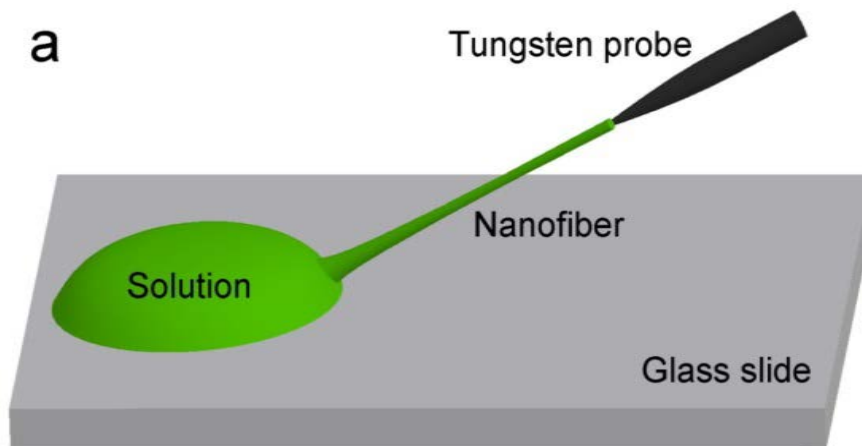
光纤直径 → 50 nm



制备



聚合物光纤 溶液拉伸

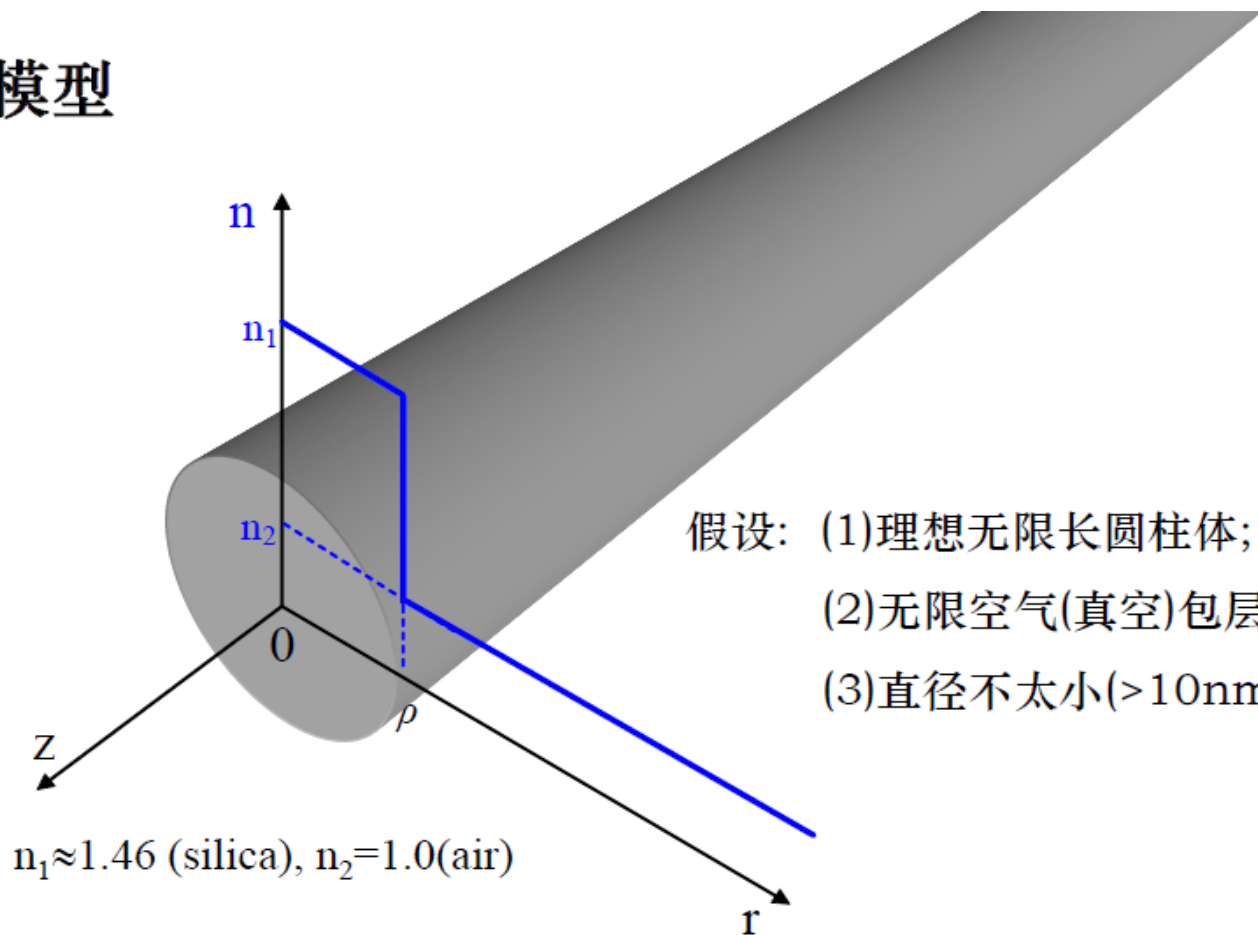




理论基础



数学模型



假设: (1)理想无限长圆柱体;
(2)无限空气(真空)包层;
(3)直径不太小($>10\text{nm}$)。

$n_1 \approx 1.46$ (silica), $n_2 = 1.0$ (air)



理论基础

Basic model

Perfect cylindrical symmetry



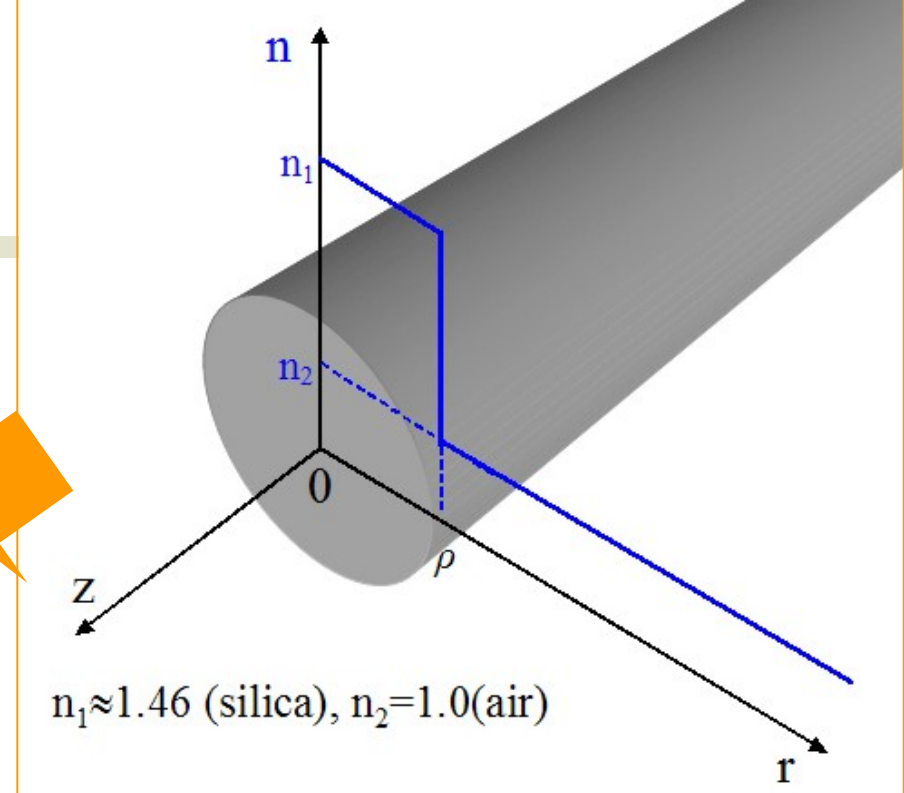
Helmholtz Equations

$$(\nabla^2 + n^2 k^2 - \beta^2) \vec{e} = 0,$$

$$(\nabla^2 + n^2 k^2 - \beta^2) \vec{h} = 0.$$



Analytical solutions of guided modes supported by the fiber ^[1]



Boundary conditions

$$+ \quad n(r) = \begin{cases} n_1, & 0 \leq r < \rho \\ n_2, & \rho \leq r < \infty \end{cases}$$



理论基础



圆柱对称结构 → 解析解

波导的折射率分布:

$$n(r) = \begin{cases} n_1, & 0 \leq r < \rho \\ n_2, & \rho \leq r < \infty \end{cases}$$

非吸收和无源介质的Helmholtz方程:

$$\begin{aligned} (\nabla^2 + n^2 k^2 - \beta^2) \bar{e} &= 0, \\ (\nabla^2 + n^2 k^2 - \beta^2) \bar{h} &= 0. \end{aligned}$$

方程的解析解 [3-1]:

其中: $k = 2\pi / \lambda_0$,

β 为传播常数,

$R = r / \rho$ 为归一化半径,

$U = \rho (k_0^2 n_1^2 - \beta^2)^{1/2}$,

$W = \rho (\beta^2 - k_0^2 n_2^2)^{1/2}$,

$V = k_0 \rho (n_1^2 - n_2^2)^{1/2}$,

J_v 为第一类贝塞尔函数,

K_v 为第二类修正贝塞尔函数。

解析解



HE_{vm}, EH_{vm}	$0 \leq r < \rho$	$\rho \leq r < \infty$
e_r	$-\frac{a_1 J_{v-1}(UR) + a_2 J_{v+1}(UR)}{J_v(U)} f_v(\phi)$	$-\frac{U}{W} \frac{a_1 K_{v-1}(WR) - a_2 K_{v+1}(WR)}{K_v(W)} f_v(\phi)$
e_ϕ	$-\frac{a_1 J_{v-1}(UR) - a_2 J_{v+1}(UR)}{J_v(U)} g_v(\phi)$	$-\frac{U}{W} \frac{a_1 K_{v-1}(WR) + a_2 K_{v+1}(WR)}{K_v(W)} g_v(\phi)$
e_z	$\frac{-iU}{\rho\beta} \frac{J_v(U)}{J_v(U)} f_v(\phi)$	$\frac{-iU}{\rho\beta} \frac{K_v(W)}{K_v(W)} f_v(\phi)$
h_r	$\left(\frac{\varepsilon_0}{\mu_0}\right)^{1/2} \frac{kn_1^2}{\beta} \frac{a_3 J_{v-1}(UR) - a_4 J_{v+1}(UR)}{J_v(U)} g_v(\phi)$	$\left(\frac{\varepsilon_0}{\mu_0}\right)^{1/2} \frac{kn_1^2}{\beta} \frac{U}{W} \frac{a_5 K_{v-1}(WR) + a_6 K_{v+1}(WR)}{K_v(W)} g_v(\phi)$
h_ϕ	$-\left(\frac{\varepsilon_0}{\mu_0}\right)^{1/2} \frac{kn_1^2}{\beta} \frac{a_3 J_{v-1}(UR) + a_4 J_{v+1}(UR)}{J_v(U)} f_v(\phi)$	$-\left(\frac{\varepsilon_0}{\mu_0}\right)^{1/2} \frac{kn_1^2}{\beta} \frac{U}{W} \frac{a_5 K_{v-1}(WR) - a_6 K_{v+1}(WR)}{K_v(W)} f_v(\phi)$
h_z	$-i \left(\frac{\varepsilon_0}{\mu_0}\right)^{1/2} \frac{UF_2}{k\rho} \frac{J_v(U)}{J_v(U)} g_v(\phi)$	$-i \left(\frac{\varepsilon_0}{\mu_0}\right)^{1/2} \frac{UF_2}{k\rho} \frac{K_v(W)}{K_v(W)} g_v(\phi)$
$f_v(\phi) = \begin{cases} \cos(v\phi) \\ \sin(v\phi) \end{cases}; \quad g_v(\phi) = \begin{cases} -\sin(v\phi) & \text{even} \\ \cos(v\phi) & \text{odd} \end{cases}$ $a_1 = \frac{(F_2 - 1)}{2}; \quad a_3 = \frac{(F_1 - 1)}{2}; \quad a_5 = \frac{(F_1 - 1 + 2\Delta)}{2}$ $a_2 = \frac{(F_2 + 1)}{2}; \quad a_4 = \frac{(F_1 + 1)}{2}; \quad a_6 = \frac{(F_1 + 1 - 2\Delta)}{2}$		$F_1 = \left(\frac{UW}{V}\right)^2 \frac{b_1 + (1 - 2\Delta)b_2}{v}; F_2 = \left(\frac{V}{UW}\right)^2 \frac{v}{b_1 + b_2}$ $b_1 = \frac{1}{2U} \left\{ \frac{J_{v-1}(U)}{J_v(U)} - \frac{J_{v+1}(U)}{J_v(U)} \right\}$ $b_2 = -\frac{1}{2W} \left\{ \frac{K_{v-1}(W)}{K_v(W)} + \frac{K_{v+1}(W)}{K_v(W)} \right\}$

解析解



TE_{0m}	$0 \leq r < \rho$	$\rho \leq r < \infty$
e_ϕ	$-\frac{J_1(UR)}{J_1(U)}$	$-\frac{K_1(WR)}{K_1(W)}$
h_r	$\left(\frac{\varepsilon_0}{\mu_0}\right)^{\frac{1}{2}} \frac{\beta}{k} \frac{J_1(UR)}{J_1(U)}$	$\left(\frac{\varepsilon_0}{\mu_0}\right)^{\frac{1}{2}} \frac{\beta}{k} \frac{K_1(WR)}{K_1(W)}$
h_z	$i \left(\frac{\varepsilon_0}{\mu_0}\right)^{\frac{1}{2}} \frac{U}{k\rho} \frac{J_0(UR)}{J_1(U)}$	$-i \left(\frac{\varepsilon_0}{\mu_0}\right)^{\frac{1}{2}} \frac{W}{k\rho} \frac{K_0(WR)}{K_1(W)}$
$e_r = e_z = h_\phi = 0$		
TM_{0m}	$0 \leq r < \rho$	$\rho \leq r < \infty$
e_r	$\frac{J_1(UR)}{J_1(U)}$	$\frac{n_1^2}{n_2^2} \frac{K_1(WR)}{K_1(W)}$
e_z	$\frac{iU}{\rho\beta} \frac{J_0(UR)}{J_1(U)}$	$-\frac{in_1^2}{n_2^2} \frac{W}{\rho\beta} \frac{K_0(WR)}{K_1(W)}$
h_ϕ	$\left(\frac{\varepsilon_0}{\mu_0}\right)^{\frac{1}{2}} \frac{kn_1^2}{\beta} \frac{J_1(UR)}{J_1(U)}$	$\left(\frac{\varepsilon_0}{\mu_0}\right)^{\frac{1}{2}} \frac{kn_1^2}{\beta} \frac{K_1(WR)}{K_1(W)}$
$e_\phi = h_r = h_z = 0$		



理论基础



试探解（解析解）+ 圆柱对称边界条件



本征方程

$$\begin{matrix} HE_{vm} \\ EH_{vm} \end{matrix} \left\{ \frac{J'_v(U)}{UJ_v(U)} + \frac{K'_v(W)}{WK_v(W)} \right\} \left\{ \frac{J'_v(U)}{UJ_v(U)} + \frac{n_2^2 K'_v(W)}{n_1^2 WK_v(W)} \right\} = \left(\frac{v\beta}{kn_1} \right)^2 \left(\frac{V}{UW} \right)^4$$

$$TE_{0m} \quad \frac{J_1(U)}{UJ_0(U)} + \frac{K_1(W)}{WK_0(W)} = 0$$

$$TM_{0m} \quad \frac{n_1^2 J_1(U)}{UJ_0(U)} + \frac{n_2^2 K_1(W)}{WK_0(W)} = 0$$



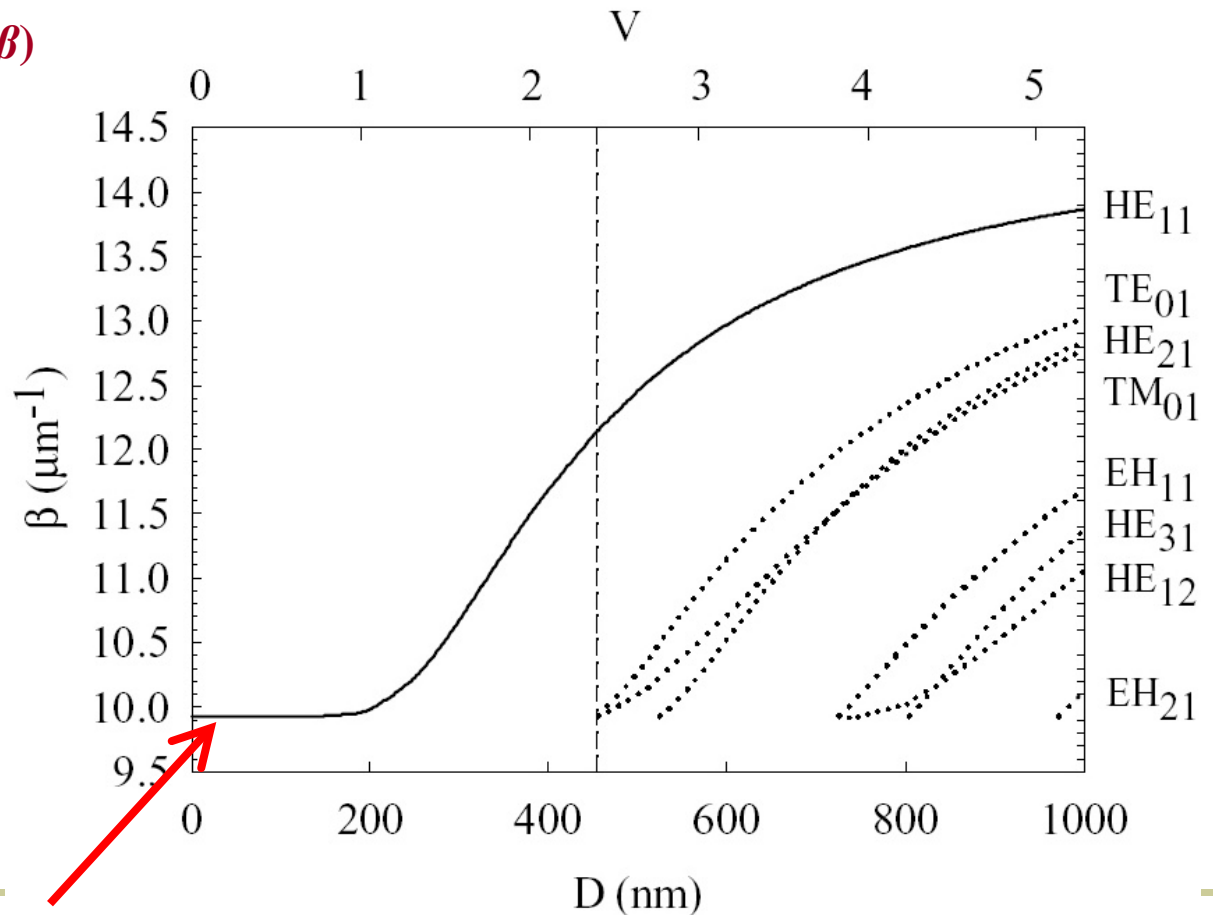
理论基础



Basic model

Propagation constants (β)

Air-clad silica
microfibers
Wavelength: 633 nm



no cutoff of the fundamental modes

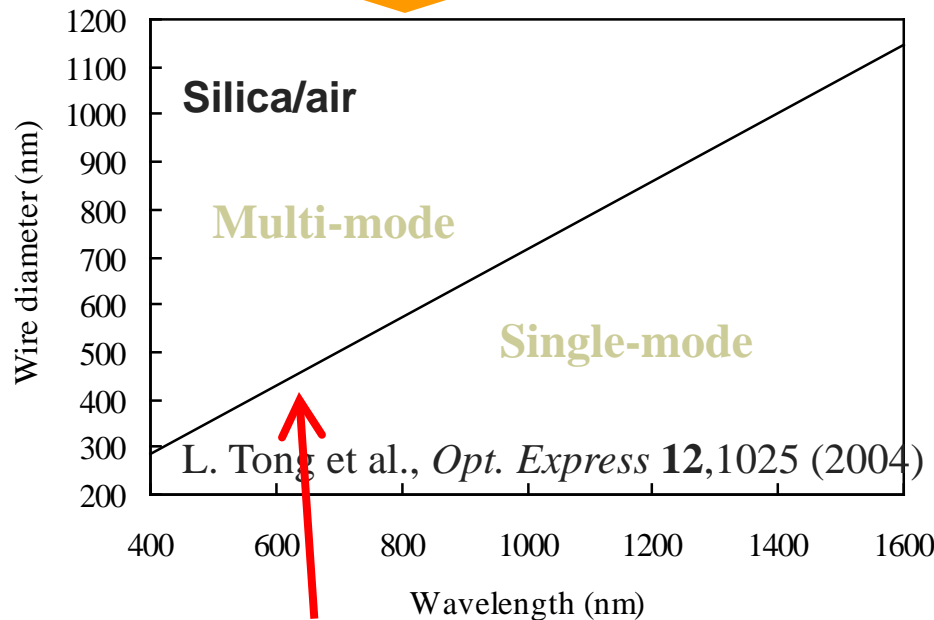


理论基础



Single-mode condition

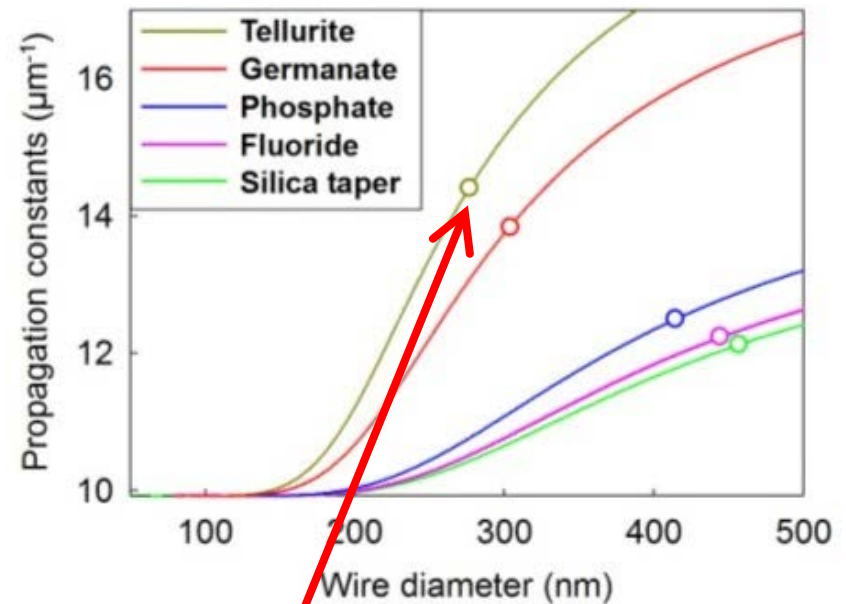
$$V = \pi \cdot \frac{D}{\lambda_0} \cdot (n_1^2 - n_2^2)^{1/2} \approx 2.405$$



The shorter the wavelength

β for HE_{11} mode of several glass nanofibers

L. Tong et al., *Opt. Express* **14**, 82 (2006)



the higher the refractive index



the smaller the single-mode cutoff diameter

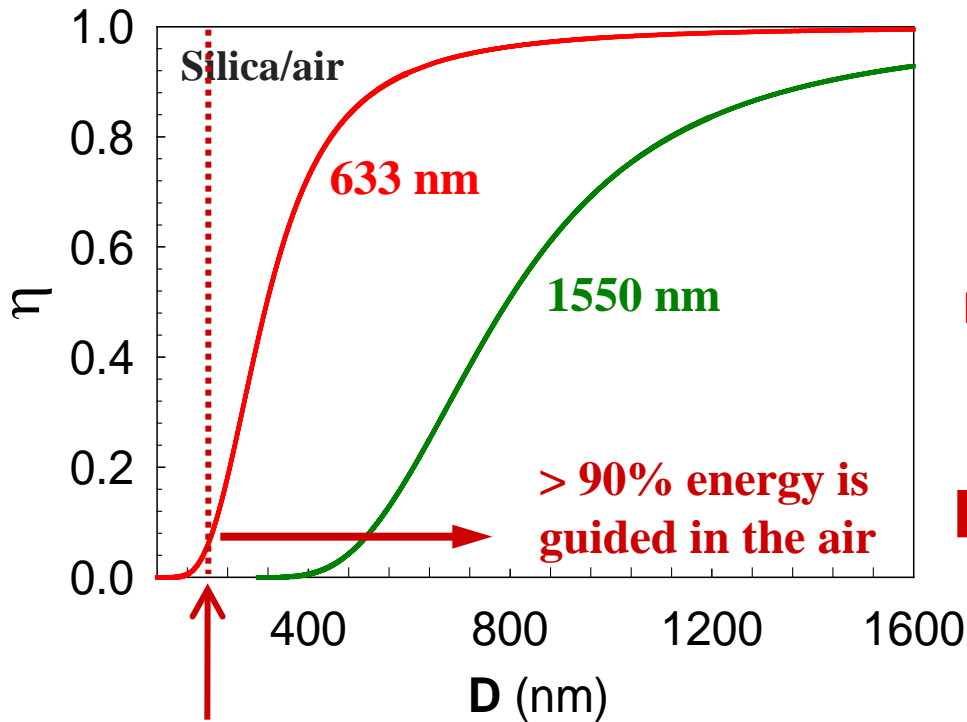


理论基础



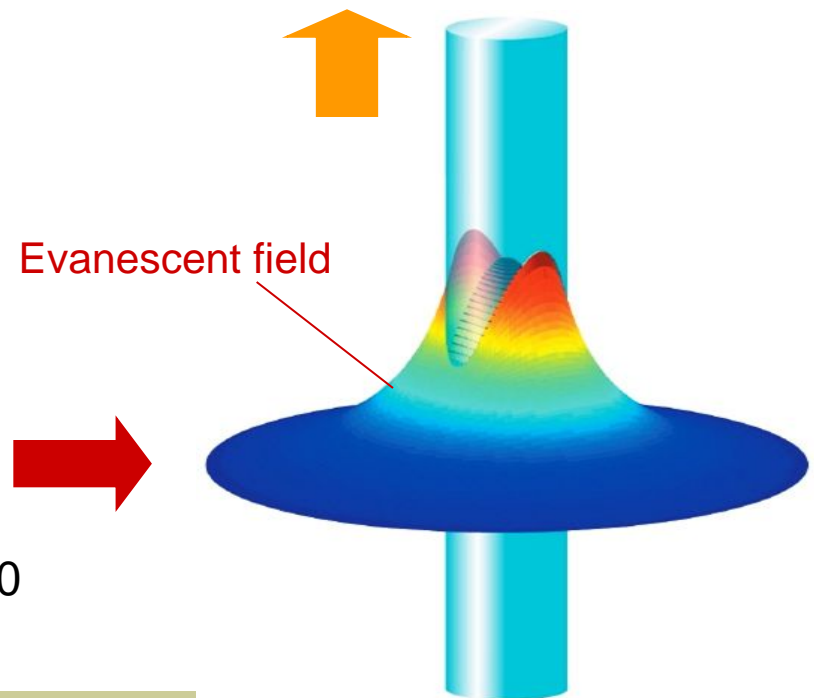
▪ Evanescent field of HE_{11} mode

Fractional power inside the core



$D=200$ nm

Near-field interaction

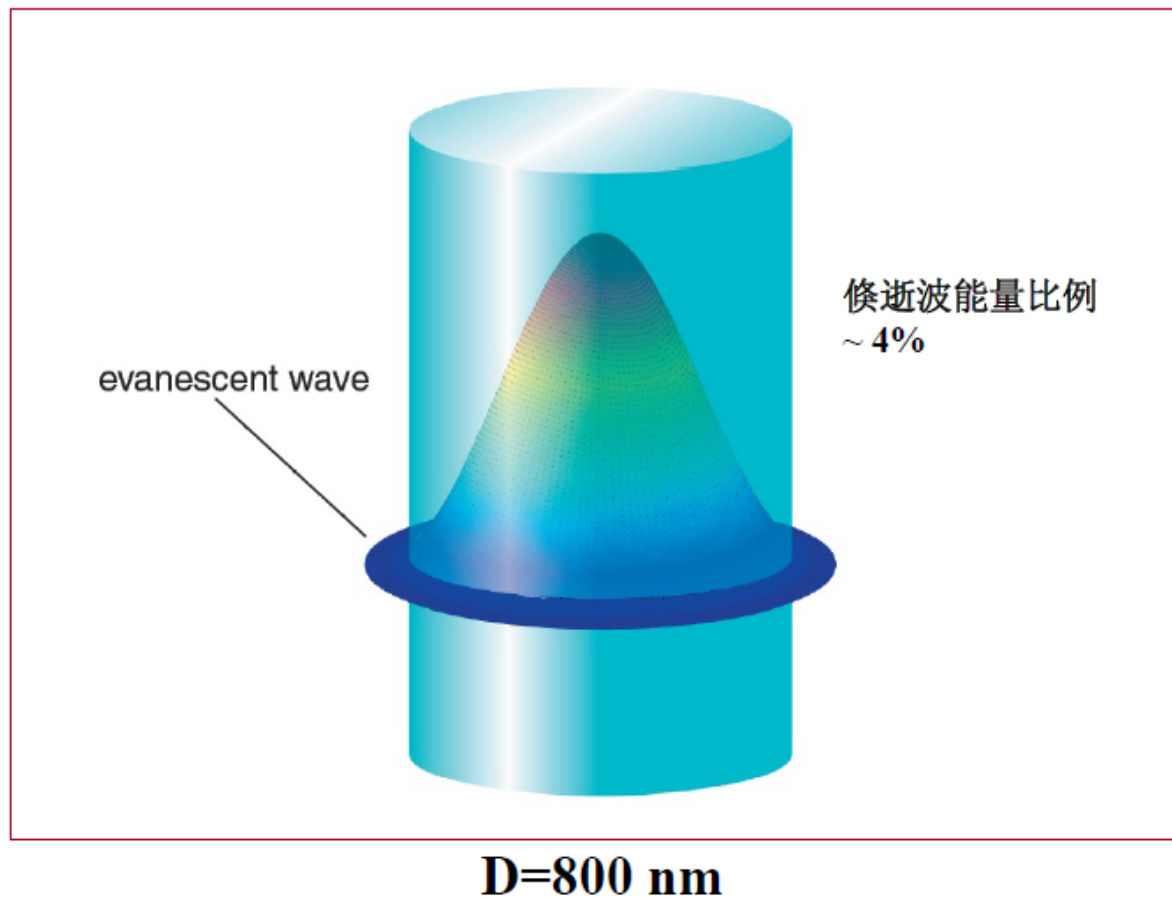




理论基础



Poynting矢量 (基模能量分布, $\lambda = 633 \text{ nm}$)

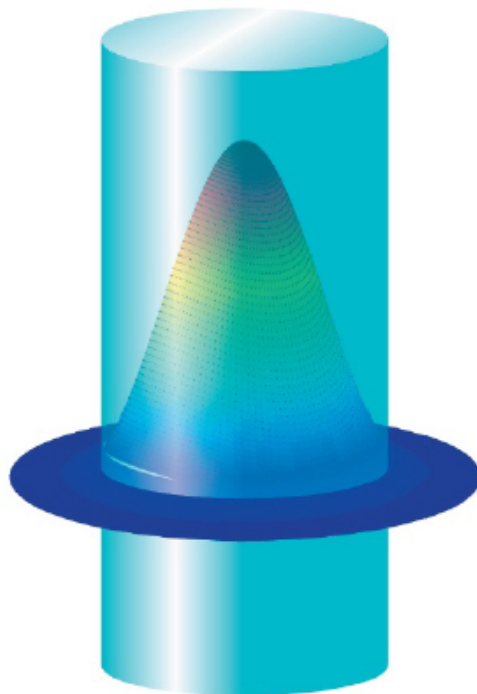




理论基础



Poynting矢量 (基模能量分布, $\lambda = 633 \text{ nm}$)



倏逝波能量比例
~ 8%

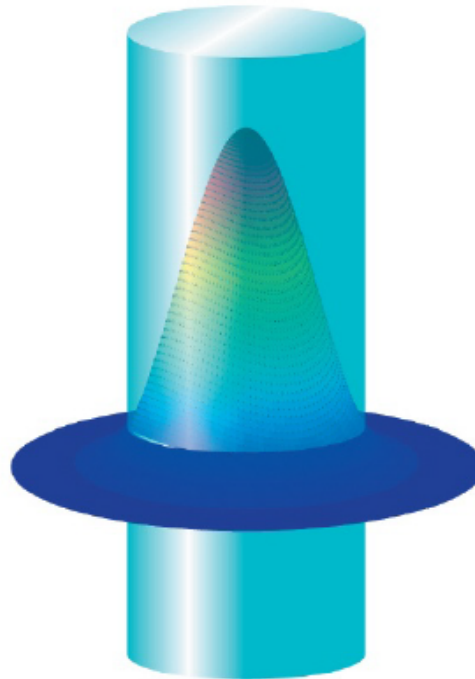
D=600 nm



理论基础



Poynting矢量 (基模能量分布, $\lambda = 633 \text{ nm}$)



倏逝波能量比例
~ 15%

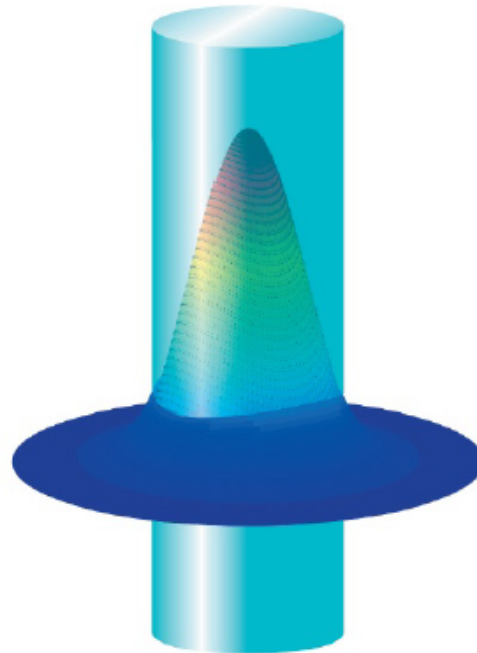
$D=500 \text{ nm}$



理论基础



Poynting矢量 (基模能量分布, $\lambda = 633 \text{ nm}$)



倏逝波能量比例
~ 28%

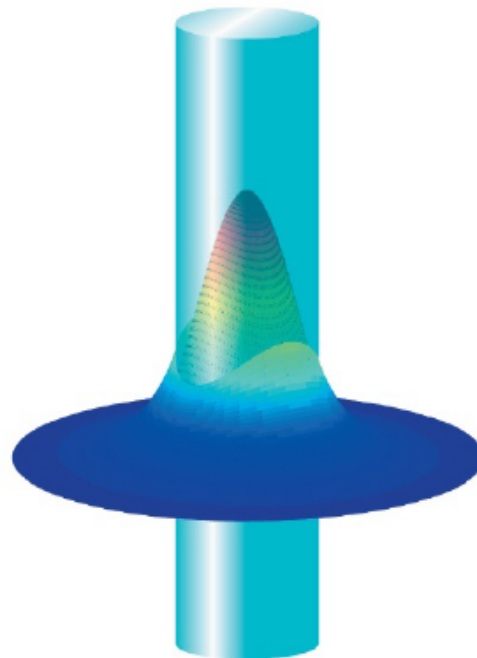
D=400 nm



理论基础



Poynting矢量 (基模能量分布, $\lambda = 633 \text{ nm}$)



倏逝波能量比例
~ 57%

$D = 300 \text{ nm}$



理论基础

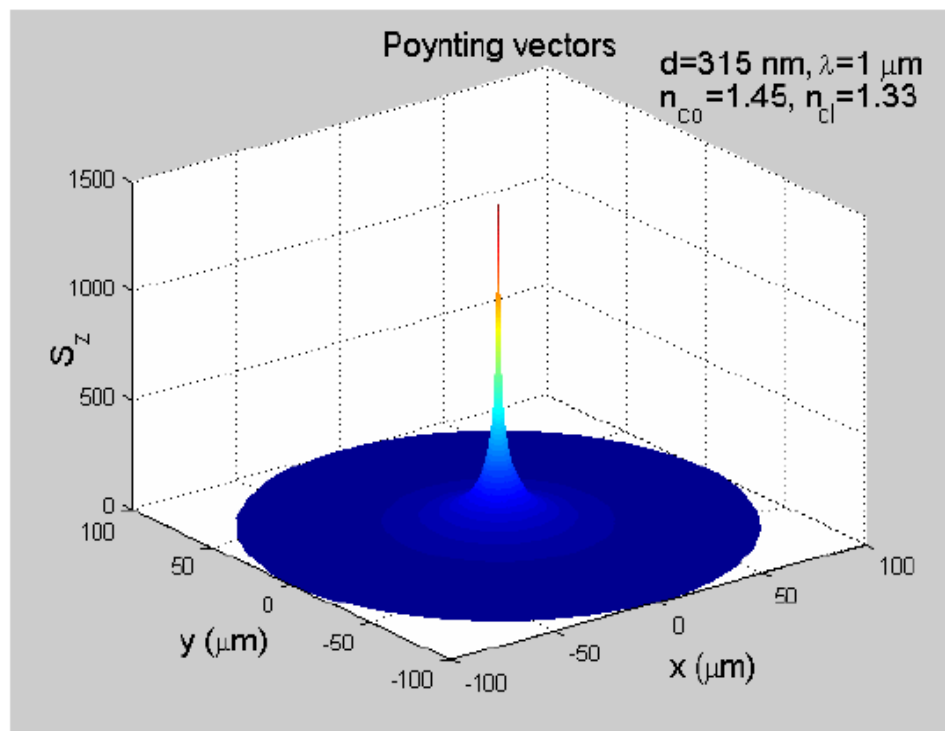


液体包层光纤的Poynting矢量 (基模能量分布, $\lambda = 1 \mu\text{m}$)

D=315 nm

液体: 水

倏逝波能量比例
~ 86%

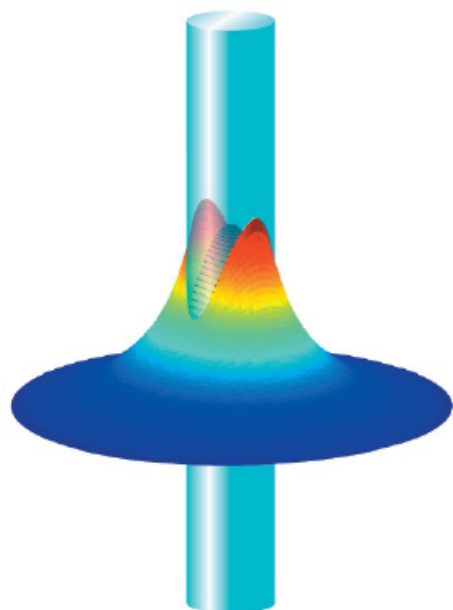




理论基础



Poynting矢量 (基模能量分布, $\lambda = 633 \text{ nm}$)



倏逝波能量比例
~ 92%

D=200 nm

作业:

利用有限元分析模拟 (例如Comsol) 的方法计算微纳光纤的模式分布, 给出不同直径的光纤外的倏逝场的能量占总能量的比例 (波长为 1550 nm) 。